

## 디스크 런아웃에 기인한 브레이크 스퀄소음

임 재 훈<sup>1)</sup> · 조 성 진<sup>1)</sup> · 최 연 선<sup>\*1)</sup> · 최 성 진<sup>2)</sup> · 최 규 재<sup>3)</sup>

성균관대학교 대학원 기계공학과<sup>1)</sup> · 자동차부품연구원<sup>2)</sup> · 군산대학교<sup>3)</sup>

## Brake Squeal Noise Due to Disk Run-out

Jae-Hoon Lim · Sung-Jin Cho<sup>1)</sup> · Yeon-Sun Choi<sup>\*1)</sup> · Sung-Jin Choi<sup>2)</sup> · Gyoo-Jae Choi<sup>3)</sup>

<sup>1)</sup>School of Mechanical Engineering, Sungkyunkwan University, Gyeonggi 333-910, Korea

<sup>2)</sup>Korea Automotive Technology Institute, 74 Yongjung-ri, Pungse-myun, Chonan-si, Chungnam 330-912, Korea

<sup>3)</sup>School of Mechanical Engineering, Kunsan National University, Chonbuk 573-701, Korea

(Received 28 August 2004 / Accepted 30 March 2005)

**Abstract :** This paper deals with a squeal noise in a brake system. It has been proved that the squeal noise is influenced by the angular misalignment of a disk, disk run-out, with the previously experimental study. In this study, a cause of the noise is examined by using FE analysis program(SAMCEF) and numerical analyses with a derived analytical equation of the disk based on the experimental results. The FE analyses and numerical results show that the squeal noise is due to the disk run-out as the experimental results and the frequency component of the noise equals to that of a disk's bending mode arising from the Hopf bifurcation.

**Key words :** Run-out(디스크 런아웃), Hopf bifurcation(호프분기), Phase diagram(위상선도), Poincare map(포앙카레 도표), Bifurcation diagram(분기선도)

### 1. 서 론

브레이크 소음은 주파수에 따라 저더(judder), 그론(groan), 스퀄(squeal) 소음 등으로 구분한다. 스퀄소음은 1 kHz~10 kHz의 주파수 범위를 가지고 있는 소음으로써 승객의 불쾌감을 유발한다. 따라서 많은 연구자들이 스quals음 발생 메카니즘을 규명하기 위해 이론해석, 유한요소법에 의한 수치해석, 실험 등을 하였으나 아직 스quals음의 정확한 발생 메카니즘이나 해결대책은 명확하지 않은 상태이다.

스quals음 관련 연구 중, Wauer<sup>1)</sup>는 브레이크 스quals음을 동적 불안정성에서 기인하는 것으로 간주하여 디스크 브레이크 모델에 대한 안정성 해석을 하

여 임계속도보다 10% 정도 작은 제 2 임계속도에서 불안정성이 발생함을 확인하였다. Kido<sup>2)</sup>는 디스크, 패드, 캘리퍼를 고려한 3 자유도 모델에 대한 복소 고유치 해석으로부터 브레이크 스quals음은 불안정성에 기인함을 보였고, 또한 패드와 디스크 사이의 마찰력의 변동에 의한 자려진동(self-excited vibration) 특성을 가지고 있는 것으로 설명하였다. Chung<sup>3)</sup>은 스quals음은 모드 간의 연성에 의해 연성된 모드 중 하나가 불안정하게 되어 발생하는 현상이며, 스quals음 저감 방법으로 불안정 모드의 분리, 불안정 모드의 연성강도(modal coupling strength)를 저감시킬 것을 제안하였다. Chowdhary<sup>4)</sup>는 브레이크 시스템의 복소 고유치 해석을 통하여 스quals음은 근접한 고유진동수를 갖는 구성 부품간의 모드 연성에 의해 발생하는 플러터(flutter) 불안정성 문제

\*To whom correspondence should be addressed.  
yschoi@yurim.skku.ac.kr

이고, 패드의 강성이 불안정성에 영향을 미치는 큰 요인임을 확인하였다. Shin<sup>5)</sup>은 디스크와 패드를 각각 하나의 모드를 가지는 모델로 하여 브레이크 시스템을 2 자유도 모델로 표현하고, 모델의 운동방정식으로부터 시스템의 특성방정식을 유도하여 루쓰 판별법(Routh criterion)으로 안정성 해석을 하였다. 해석결과 스콜소음 발생을 감소시키기 위해서는 디스크와 패드의 고유진동수를 가능한 한 멀리 분리하고, 패드에 탱핑을 추가해야 한다고 하였다. 또한, 박주표<sup>6)</sup>는 정렬불량에 의한 디스크의 런아웃이 브레이크 스콜소음의 원인임을 실험을 통해 보였다.

브레이크 스콜소음 관련 유한요소해석으로 Herting<sup>7)</sup>은 스콜소음의 원인을 비선형 마찰력(nonlinear friction force)을 고려하고 고유 복소치 해석을 수행하여 복소수 형태로 나타나는 강성행렬의 고유값 중 실수부가 (+)가 되어 디스크의 불안정성이 나타난다고 주장하였다. 이장무<sup>8)</sup>는 MSC / NASTRAN을 이용하여 디스크 브레이크의 기본 모델의 복소 고유치 해석을 하였다.

이와 같이 많은 연구자들이 스콜소음 발생 메커니즘에 대해 이론해석, 유한요소해석, 실험 등을 통한 다양한 연구가 있어 왔다. 그러나 스콜소음에 관한 정확한 발생 메커니즘이나 해결대책은 밝혀지지 않은 상태이고, 연구자와 연구방법에 따라 서로 다른 해결방안이 제시되고 있다. 본 연구에서는 실험<sup>6)</sup>으로 밝혀진 브레이크 스콜소음과 디스크 런아웃의 관계를 상용 SAMCEF프로그램<sup>9)</sup>을 이용한 전산시뮬레이션을 통해 검증하였다. 또 해석모델을 통한 이론해석으로 브레이크 스콜소음이 디스크의 런아웃에 기인함을 입증하였다. 즉 디스크 축의 정렬불량으로 인해 디스크가 축과 직각을 이루지 못함에 따라 패드와 디스크의 접촉이 균일하지 않음으로써 스콜소음이 발생됨을 전산해석과 이론해석으로 밝혔다.

## 2. 전산시뮬레이션

실험을 통하여 브레이크의 스콜 소음을 분석한 결과, 디스크의 런아웃이 스콜소음이 발생하는 주원인으로 나타나므로<sup>6)</sup> 본 연구에서는 기구학 해석과 유한요소 해석이 동시에 이루어지는 SAMCEF를

Table 1 Natural frequencies of the parts by FE analysis

Order	Caliper (Hz)	Disk (Hz)	Pad (Hz)
1	888	2343	723
2	912	3059	988
3	1866	3491	1810



(a) 2nd mode (3059 Hz) (b) 3rd mode (3491 Hz)

Fig. 1 Mode shapes of the disk

사용하여 스콜소음이 발생하는 상황을 전산시뮬레이션 하였다. Table 1은 유한요소해석 소프트웨어(SAMCEF)를 이용하여 해석한 캘리퍼, 패드, 디스크 각각에 대한 고유진동수를 나타낸 것이고, Fig. 1에는 3 kHz~4 kHz 범위에 있는 디스크의 모드형상을 나타낸 것이다. 실험결과와 마찬가지로 3 kHz 성분의 고유진동수가 발생되었고, 이때 굽힘모드(bending mode)가 발생하는 것을 볼 수 있다. 즉, 스콜소음은 디스크의 고유진동수 중 굽힘모드에 기인함을 확인할 수 있다. 본 연구에서는 디스크와 패드를 유연체(flexible body)로 모델링 하여 런아웃이 허용한도 이상일 때와 이하일 때 각각에 대해 발생되는 주파수 성분을 SAMCEF를 통해 분석하였다. Fig. 2는 디스크와 패드만으로 브레이크를 모델링한 것이고 Table 2는 각 부품의 물성치이다.

디스크의 회전속도는 차량이 정차하기 전의 속도인 5 km/h로 계산하여 40 RPM으로 회전하고 있는 경우이다. Fig. 3은 런아웃이 0.03 mm일 때와 0.3 mm일 때 각각 마찰패드의 가속도와 주파수 성분을 나타낸 것이다. 그림에서와 같이 런아웃이 0.03 mm일 때 스콜소음 성분인 3 kHz가 발생하지 않고, 0.3 mm일 때 3 kHz가 발생함을 알 수 있다.

Table 2 Material properties of the disk and pad

	Disk	Pad
E (GPa)	100	0.35
V	0.29	0.2
$\rho$ (kg/m <sup>3</sup> )	7200	1450

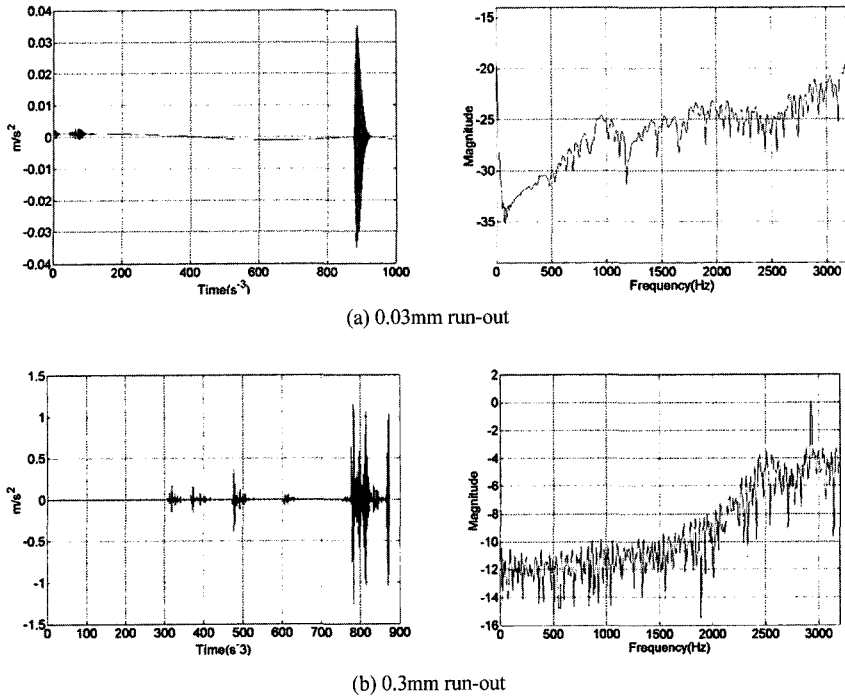


Fig. 3 Accelerations and power spectrums of the pad

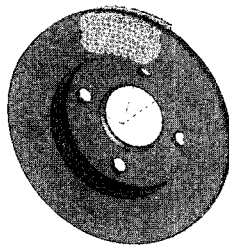


Fig. 2 FE model

### 3. 이론해석

런아웃이 있는 디스크의 회전과 패드에 의해 디스크에 작용되는 힘을 해석하기 위해 Fig. 4와 같이 경사된 원판 모델을 가정하였다. Fig. 4에서는 고정 좌표계  $XYZ$ 와 원판에 고정되어 있지만 회전하지 않는 좌표계  $xyz$  원판에 고정되어 원판과 같이 회전하는 좌표계  $x'y'z'$ 를 각각 나타내었다. 원판은 회전축을 따라 각속도  $\omega$ 로 회전하고 있다.

디스크의 런아웃을 고려하기 위해 Fig. 4(a)와 같이 불균형각  $\phi$ 를 고려한다. 즉  $Z$ 축은 회전축과 평행하고,  $z$ 축은 원판에 직교하므로 원판의 불균형각,  $\phi$

를 축  $Z$ 와  $z$ 사이의 각으로 표현할 수 있다. 회전 각속도  $\omega$ 에 의해 원판이 회전할 때, 원판 위의 한 점  $P$ 의 각변화량은  $\Omega t$ 이고, Fig. 4(c)로부터 원판위의  $x$ 좌표축의 한 점  $R$ 이 일정 시간 후,  $x$  위의 한 점  $R_1$ 으로 이동할 때, 각각의  $XY$ 평면에서 투영된 위치는 각각  $R'_0$ 과  $R'_1$ 이다. 따라서 식 (1)의 관계식을 얻을 수 있다.

$$d\cos \Omega t = b \cos \gamma \cos \phi, \quad d\sin \Omega t = b \sin \gamma \quad (1)$$

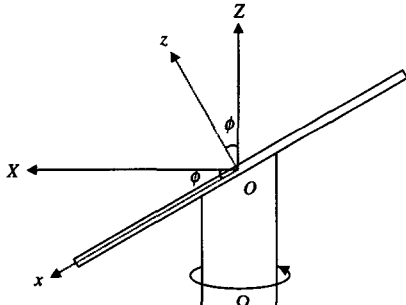
$\psi = \gamma + \theta$ 라고 하면, 식 (1)로부터 다음의  $\psi$ 와  $\theta$ 의 관계식을 얻을 수 있다.

$$\psi = \tan^{-1} [\tan \Omega t \cos \phi] + \theta \quad (2)$$

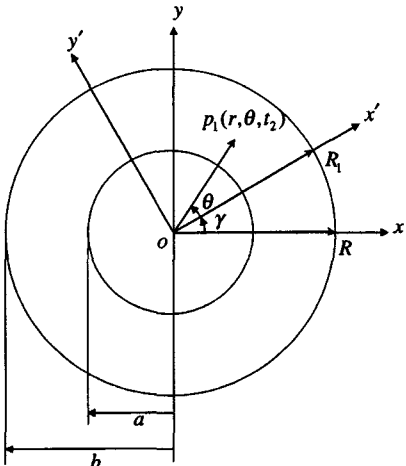
원판의 횡방향 변위에 대한 운동방정식은 식 (3)과 같으며,

$$\rho h \frac{\partial^2 u}{\partial t^2} + D \nabla^4 u = 0, \quad (3)$$

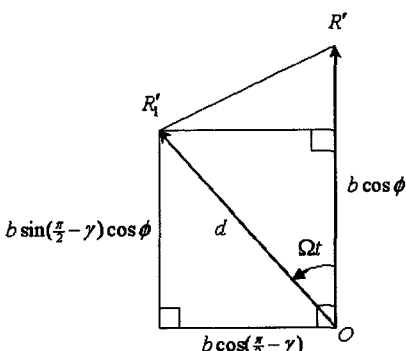
식 (3)의 좌표계,  $(r, \theta, t)$ 를  $(r, \psi, t)$ 로 변환하면 다음과 같다.



(a) In the  $y$  direction



(b) In the  $z$  direction



(c) Projecting on the  $X$ - $Y$  plane

Fig. 4 Schematics of a rotating disk with angular misalignment

$$\rho h \left[ \frac{\partial^2 u}{\partial t^2} + 2A \frac{\partial^2 u}{\partial t \partial \psi} + B \frac{\partial u}{\partial \psi} + A^2 \frac{\partial^2 u}{\partial \psi^2} \right] + D \nabla^4 u = 0, \quad (4)$$

$$A = \frac{\partial \psi}{\partial t} = \frac{\Omega \cos \phi \sec^2(\Omega t)}{1 + \tan^2(\Omega t) \cos^2 \phi},$$

$$B = \frac{\partial}{\partial t} \left( \frac{\partial \psi}{\partial t} \right) = \frac{\Omega^2 \cos \phi \sin^2 \phi \sin(2\Omega t)}{(\cos^2(\Omega t) + (\sin^2(\Omega t) \sin^2 \phi))^2}, \quad (5)$$

$$\nabla^4 = \left[ \frac{\partial^2}{\partial r^2} + \frac{1}{r} \frac{\partial}{\partial r} + \frac{1}{r^2} \frac{\partial^2}{\partial \psi^2} \right]^2$$

원판의 경계조건은 다음과 같다.

$$u(a, \psi, t) = \frac{\partial u}{\partial r}(a, \psi, t) = 0 \quad (6)$$

$$M_r(b, \psi, t) = Q_r(b, \psi, t) - \frac{1}{b} \frac{\partial M_{r\psi}}{\partial \psi}(b, \psi, t) = 0 \quad (7)$$

$$M_r(r, \psi, t) = -D \left[ \frac{\partial^2 u}{\partial r^2} + \nu \left\{ \frac{1}{r} \frac{\partial u}{\partial r} + \frac{1}{r^2} \frac{\partial^2 u}{\partial \psi^2} \right\} \right],$$

$$Q_r(r, \psi, t) = D \frac{\partial}{\partial r} \left[ \frac{\partial^2 u}{\partial r^2} + \frac{1}{r} \frac{\partial u}{\partial r} + \frac{1}{r^2} \frac{\partial^2 u}{\partial \psi^2} \right], \quad (8)$$

$$M_{r\psi}(r, \psi, t) = -D(1-\nu) \frac{1}{r} \frac{\partial}{\partial \psi} \left( \frac{\partial u}{\partial r} - \frac{u}{r} \right)$$

페드를 점질량(point mass)으로 원판 위의 한 점  $u(r_p, \psi_p)$ 에 놓여 있다고 가정하여 운동방정식을 다시 정리하면 다음과 같다.<sup>10)</sup>

$$\begin{aligned} & \rho h \left[ \frac{\partial^2 u}{\partial t^2} + 2A \frac{\partial^2 u}{\partial t \partial \psi} + B \frac{\partial u}{\partial \psi} + A^2 \frac{\partial^2 u}{\partial \psi^2} \right] + D \nabla^4 u \\ & + \frac{1}{r} \left[ M \left( \frac{\partial^2 u}{\partial t^2} + 2A \frac{\partial^2 u}{\partial t \partial \psi} + B \frac{\partial u}{\partial \psi} + A^2 \frac{\partial^2 u}{\partial \psi^2} \right) \right. \\ & \left. + C_z \left( \frac{\partial u}{\partial t} + A \frac{\partial u}{\partial \psi} \right) + K_z u \right] \delta(r - r_p) \delta(\psi - \psi_p) \\ & = -\frac{1}{r} \delta(r - r_p) \delta(\psi - \psi_p) N(1 + \sin(\Omega t)) \cos \phi \end{aligned} \quad (9)$$

본 연구에서는 갤러kin법(Galerkin method)을 식 (9)에 적용하여 고유진동수를 구하였다. 이를 위해 운동방정식의 해를 다음과 같이 가정하였다.

$$u(r, \psi, t) = \sum_{n=0}^N [C_n(t) \cos n\psi + S_n(t) \sin n\psi] R_n(r) \quad (10)$$

여기서,  $C_n(t)$ 과  $S_n(t)$ 은 각각 시간함수이며,  $R_n(r)$ 은 반경방향 좌표  $r$ 의 함수이다. 브레이크의 스컬소음이 디스크의 세 번째 고유진동수, 즉 여러 고유진동수 중 낮은 주파수와 일치하기 때문에 절점이 없는 절점직경만 갖는 모드의 고유진동수를

고려한다. 식(6)과(7)의 경계조건을 만족하는 비교함수(comparison function)을 구하기 위해  $R_n(r)$ 을 다음과 같이 가정한다.

$$R_n(r) = c_1(r-a)^2 + c_2(r-a)^3 + c_3(r-a)^4 \quad (11)$$

식(11)은 경계조건 식(6)을 만족한다. 따라서 상수  $c_1, c_2, c_3$ 는 경계조건 식(6)과 정규화 조건에 의해서 결정된다. 정규화 조건은 다음과 같다.

$$\begin{aligned} & \rho h \int_a^b \int_0^{2\pi} R_n^2 \sin^2 \psi r d\psi dr \\ &= \rho h \int_a^b \int_0^{2\pi} R_n^2 \cos^2 \psi r d\psi dr = 1 \end{aligned} \quad (12)$$

식(11)을 식(7)과(12)에 대입하여 상수  $c_1, c_2, c_3$ 을 결정한 후, 갤러킨법을 적용한다.

$$\begin{aligned} & \int_a^b \int_0^{2\pi} f(u) \cos n\psi R_n r d\psi dr = 0, \\ & n = 0, 1, \dots, N \end{aligned} \quad (13)$$

$$\begin{aligned} & \int_a^b \int_0^{2\pi} f(u) \sin n\psi R_n r d\psi dr = 0, \\ & n = 1, 2, \dots, N \end{aligned} \quad (14)$$

$$\begin{aligned} f(u) &= \\ & \rho h \left[ \frac{\partial^2 u}{\partial t^2} + 2A \frac{\partial^2 u}{\partial t \partial \psi} + B \frac{\partial u}{\partial \psi} + A^2 \frac{\partial^2 u}{\partial \psi^2} \right] + D \nabla^4 u \\ & + \frac{1}{r} \left[ M \left( \frac{\partial^2 u}{\partial t^2} + 2A \frac{\partial^2 u}{\partial t \partial \psi} + B \frac{\partial u}{\partial \psi} + A^2 \frac{\partial^2 u}{\partial \psi^2} \right) \right. \\ & \left. + C_z \left( \frac{\partial u}{\partial t} + A \frac{\partial u}{\partial \psi} \right) + K_z u \right] \delta(r - r_p) \delta(\psi - \psi_p) \\ & + \frac{1}{r} \delta(r - r_p) \delta(\psi - \psi_p) N(1 + \sin(\Omega t)) \cos \phi \end{aligned} \quad (15)$$

$\psi_o = 0$ 이라 하고, 코사인(cosine)과 사인(sine) 함수의 직교성(orthogonality)을 이용하면, 식(13)과(14)는 다음과 같이 쓸 수 있다.

$$\begin{aligned} & \ddot{C}_k + 2kA\dot{C}_k + (-k^2A^2 + \mu_k^2)C_k + kBS_k \\ & + \sum_{n=0}^N [M\{\dot{C}_n R_{np} + 2nA(S_n \dot{R}_{np}) \\ & + nB(S_n R_{np}) - n^2 A^2(C_n R_{np})\} \\ & + C_z\{C_n R_{np} + nA(S_n R_{np})\} \\ & + K_z C_n R_{np} + N(1 + \sin \Omega t) \cos \phi] R_{kp} = 0, \\ & k = 0, 1, \dots, N \end{aligned} \quad (16)$$

$$\ddot{S}_k - 2kA\dot{C}_k + (-k^2A^2 + \mu_k^2)S_k + kBC_k = 0, \quad (17)$$

$$k = 1, 2, \dots, N$$

$$\begin{aligned} \mu_n^2 &= \pi \int_a^b [D \nabla_r^4 R_n] R_n r dr, \\ \nabla_r^4 R_n &= \left( \frac{d^2}{dr^2} + \frac{d}{r dr} - \frac{n^2}{r^2} \right)^2 R_n, \\ R_{np} &= R_n(r = r_p) \end{aligned} \quad (18)$$

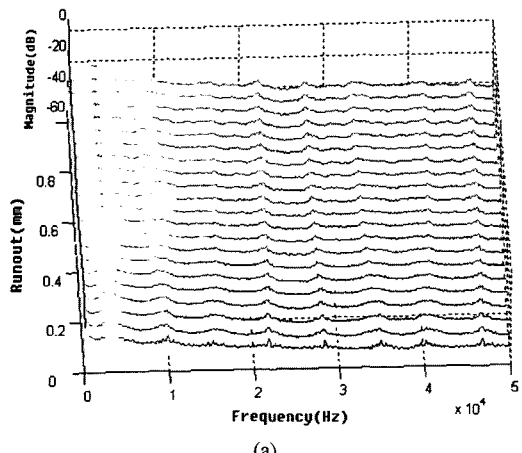
앞에서 언급한 스켈소음이 발생하는 3번째까지의 고유모드만을 고려하기로 한다. 원판이 회전하지 않는 경우( $\Omega = 0$ ) 고유진동수를 계산한 결과는 Table 3에 나타내었다. Table 3에서 팔호의 왼쪽 숫자는 절원의 갯수, 오른쪽 숫자는 절직경의 갯수를 나타낸다.

시간영역에서의 원판의 응답을 구하기 위해 식(16), (17)을 식(19)와 같이 상태방정식으로 나타낸다.

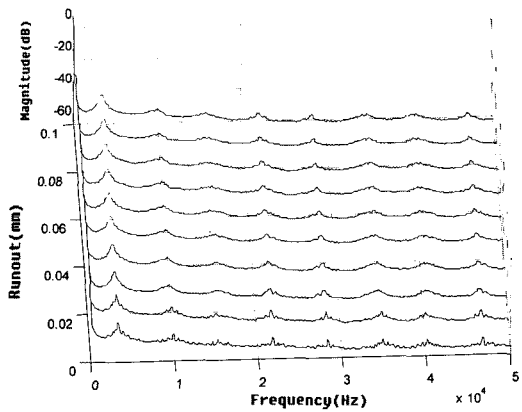
$$\{\dot{y}\} = A\{y\} + F \quad (19)$$

$$\begin{aligned} \{y\} &= \{C_0, S_0, \dot{C}_0, \dot{S}_0, \dots, \dot{C}_2, \dot{S}_2\}^T \\ F &= N(1 + \sin \Omega t) \cos \phi \{R_{0p}, R_{1p}, \dots, 0\}^T \end{aligned} \quad (20)$$

Fig. 5는 식(19)를 수치해석 하여 런아웃의 변화에 따른 디스크의 정상상태 변위에 대한 주파수 성분의 워터폴 선도(waterfall diagram)를 나타낸 것이다. Fig. 5에서 보는 바와 같이 런아웃이 0.04 mm 이상에서부터 응답의 주파수 성분 중 디스크의 세 번째 고유진동수와 일치하는 성분이 증폭됨을 알 수 있다. 이 결과는 앞서의 실험결과와 일치하는 것으로 실제 실험에서 측정한 스켈의 주원인이 런아웃이며, 그 결과로써 디스크의 굽힘모드에 해당하는 고유진동수가 가진이 됨을 의미한다. Fig. 6은 런아웃의 변화에 따른 디스크 응답의 위상선도(phase diagram)와 포앙카레 도표(Poincare map)를 도시한 것이다. Fig. 6에서 보는 바와 같이 런아웃이 0.04 mm 미만일 때는 시스템이 안정하여 위상선도와 포앙카레 도표에서는 한 점으로 나타나지만 0.04 mm 이상에서는 호프분기(Hopf bifurcation)가 발생하여 시스템이 불안정해지며 위상선도에서는 한계사이클(limit cycle)이 나타난다. Fig. 7(a)와 확대한 Fig. 7(b)의 분기선도(bifurcation diagram)에서 볼 수 있듯



(a)



(b)

Fig. 5 Waterfall diagram of the disk

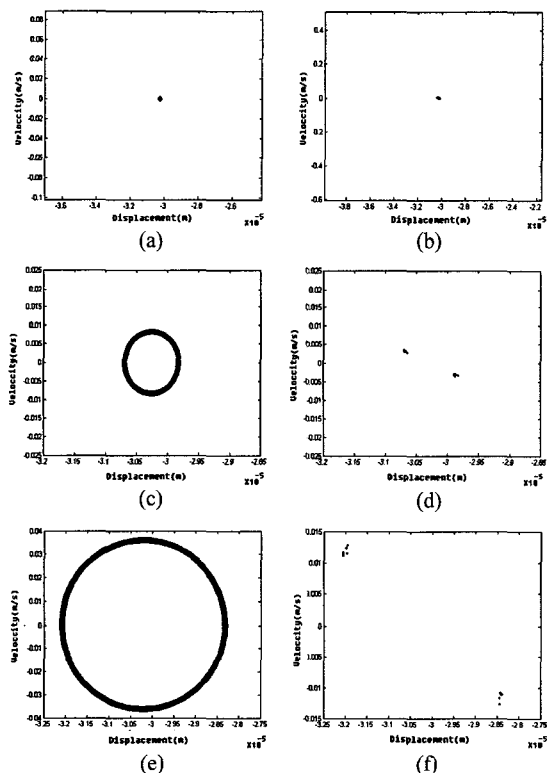
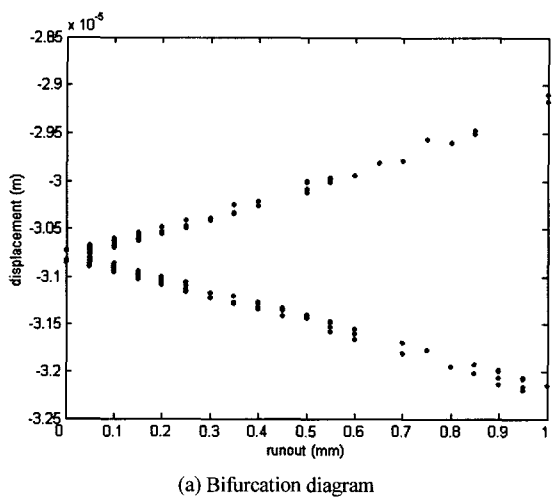


Fig. 6 Phase diagram and Poincare map for 0.03 mm runout;

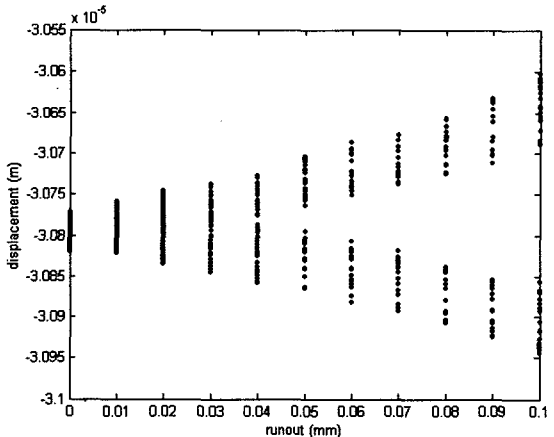
(a), (b), 0.05 mm runout; (c), (d), 0.9 mm runout; (e),  
(f)

Table 3 Natural frequencies of the disk for  $\Omega = 0$  RPM

	(0, 0)	(0, 1)	(0, 2)
Natural frequency (Hz)	2652.6	2720.4	3069.7



(a) Bifurcation diagram



(b) Magnification of bifurcation

Fig. 7 Bifurcation diagram of the disk

이 런아웃이 0.04 mm 이상으로 증가함에 따라 호프 분기가 발생하며 런아웃이 증가할수록 2주기 이상의 응답이 나타나는 것을 알 수 있다.

#### 4. 결 론

디스크 런아웃이 브레이크 스quals음의 원인이라 는 실험결과<sup>6)</sup>를 증명하기 위해 상용 SAMCEF 프로그램을 이용하여 전산 시뮬레이션을 수행하고, 해석모델을 통한 이론해석을 수행하였다. 실험결과를 전산 시뮬레이션으로 확인하였고 런아웃이 있는, 즉 정렬불량을 포함하는 디스크에 대하여 운동방정식을 유도하고, 이를 수치해석한 결과, 실험결과와 일치하였다. 즉 스quals음의 원인은 디스크의 정렬불량에 의한 런아웃에 기인하는 것으로써 런아웃의 증가에 따라 호프분기가 발생하고 디스크의 굽힘모드가 가진됨에 따라 스quals음이 발생함을 알 수 있었다.

#### 후 기

본 연구는 산업자원부가 지원하는 중기거점기술 개발사업(샤시코너모듈 공통기반기술개발)으로 지원되어 수행하였습니다.

#### References

- 1) J. Wauer and J. Heilig, "Dynamics and Stability of a Nonlinear Brake Model," Proceedings of DETC'01 ASME 2001 Design Engineering Technical Conference, 2001.
- 2) I. Kido, T. Kurahachi and M. Asai, "A Study on Low-Frequency Brake Squeal Noise," SAE 960993, 1996.
- 3) C. H. Chung, W. Steed, K. Kobayashi and H. Nakata, "A New Analysis Method For Brake Squeal Part 1: Theory For Modal Domain Formulation And Stability Analysis," SAE 2001-01-1600, 2001.
- 4) H. V. Chowdhary, A. K. Bajaj and C. M. Krousgrill, "An Analytical Approach to Model Disc Brake System for Squeal Prediction," Proceedings of DETC'01 ASME 2001 Design Engineering Technical Conference, 2001.
- 5) K. Shin, M. J. Brennan, J. E. Oh and C. J. Harris, "Analysis of Disc Brake Noise Using a Two Degree of Freedom Model," Journal of Sound and Vibration, Vol.254, Issue 5, pp.837-848, 2002.
- 6) J. P. Park and Y. S. Choi, "Experimental Analysis on Brake Squeal Noise Due to Disk Misalignment," Transactions of KSAE, Vol.12, No.5, pp.118-124, 2004.
- 7) H. G. Choi, J. D. Jung, H. Kang, J. M. Lee, I. S. Chung and C. K. Park, "A Study of the Squeal Noise of a Disk Brake System Using FEM," KSME 01S262, pp.630-634, 2001.
- 8) M. L. Chargin, L. W. Dunne and D. N. Herting, "Nonlinear dynamics of brake squeal," Finite Elements in Analysis and Design, Vol.28, Issue 1, pp.69-82, 1997, 12.
- 9) Samcef field. SAMTECH. 2002.
- 10) H. Ouyang, J. E. Mottershead, M. P. Cartmell and D. J. Brookfield, "Friction-induced Vibration of an Elastic Slider on a Vibrating Disk," International Journal of Mechanical Sciences, Vol.41, pp.325-336, 1999.